

# 混杂系统模型与优化控制<sup>1)</sup>

尹增山 张伟 高春华 李平

(浙江大学工业控制技术研究所 杭州 310027)

**摘要** 本文研究了混杂系统的最优控制问题。在给出混杂系统自动机模型的基础上，分析了混杂系统最优控制的复杂性，并给出了层次混杂系统优化控制方法。这种方法通过对目标函数进行一定变换，把复杂的求解问题分成几个相对简单的子问题，从而简化了问题的求解，并给出了最优控制问题的一个次优解。

**关键词** 混杂系统，混杂自动机，最优控制

## 1 前言

随着计算机科学的发展，既包含连续动态，又包含离散动态的混杂系统大量出现。如飞行控制、柔性生产制造和交通运输系统等。近几年，混杂系统的研究得到了广泛的重视，取得了不少成果[1][2][3]。

文[5][6]对混杂控制系统的优化进行了一定的研究。文[5]首先进行逻辑、受限动态变换，把混杂系统转化为混合逻辑动态系统(MLD)，用混合整数平方规划(MIQP)优化求解，混合整数平方规划求解是 NP\_Hard 的(Raman and Grossmann, 1991)。文[6]则采用受限的微分动态规划进行求解，这是一种数值解法。本文针对混杂最优控制问题提出层次优化方法，把复杂的求解问题分成几个相对简单的子问题，从而简化了问题的求解。

## 2 混杂系统模型

考虑以下受控混杂动态系统，用混杂自动机表示：

$$Hc = (V_D, Q, u_1, u_2, u_3)$$

(i)  $V_D$  为连续变量有限集。一个数据状态表示  $V_D$  中变量取值。记数据状态集为  $\Sigma_D$ 。

(ii)  $Q$  为离散状态集。系统状态集  $\Sigma = Q \times \Sigma_D$ ，一个系统状态可用  $(l, \sigma)$  表示，其

<sup>1)</sup>本文由国家自然科学基金(69804009)、国家863课题(863-511-845-005)基金资助。

中  $l \in Q$  表示离散状态,  $\sigma \in \Sigma_D$  表示连续状态.

- (iii)  $u_1$  为  $Q$  中的每个离散状态对应系统行为. 是从  $R^+$  映射到  $\Sigma_D$  上的一个  $C^\infty$  函数.
- (iv)  $u_2$  为每一  $l \in Q$  指定一个 exception 集  $u_2(l) \subseteq \Sigma_D$ , 在 exception  $u_2(l)$  发生时离散状态跃变. 差集  $\Sigma_D - u_2(l)$  称为状态不变量.
- (v)  $u_3$  表示离散状态变迁关系:  $u_3(e) \subseteq \Sigma_D^2$ , 即从一离散状态跃变到另一离散状态.

例 1: 如图 1 所示: 连续状态集  $V_D = \{x_1, x_2, x_3\}$ ,

离散状态集  $Q = \{q_1, q_2, q_3\}$ , 离散状态  $q_1$

的系统行为  $u_1(q_1) \rightarrow x_1 = f(x_1, u_1, t,)$ ,

exception 集  $u_2(q_1)$  (包括  $u_2'(q_1)$  和  $u_2''(q_1)$ ),  $u_2(q_2)$ , 变迁关系  $u_3(q_1, q_2)$ ,

$u_3(q_1, q_3)$ 、 $u_3(q_2, q_3)$  分别如图所示.

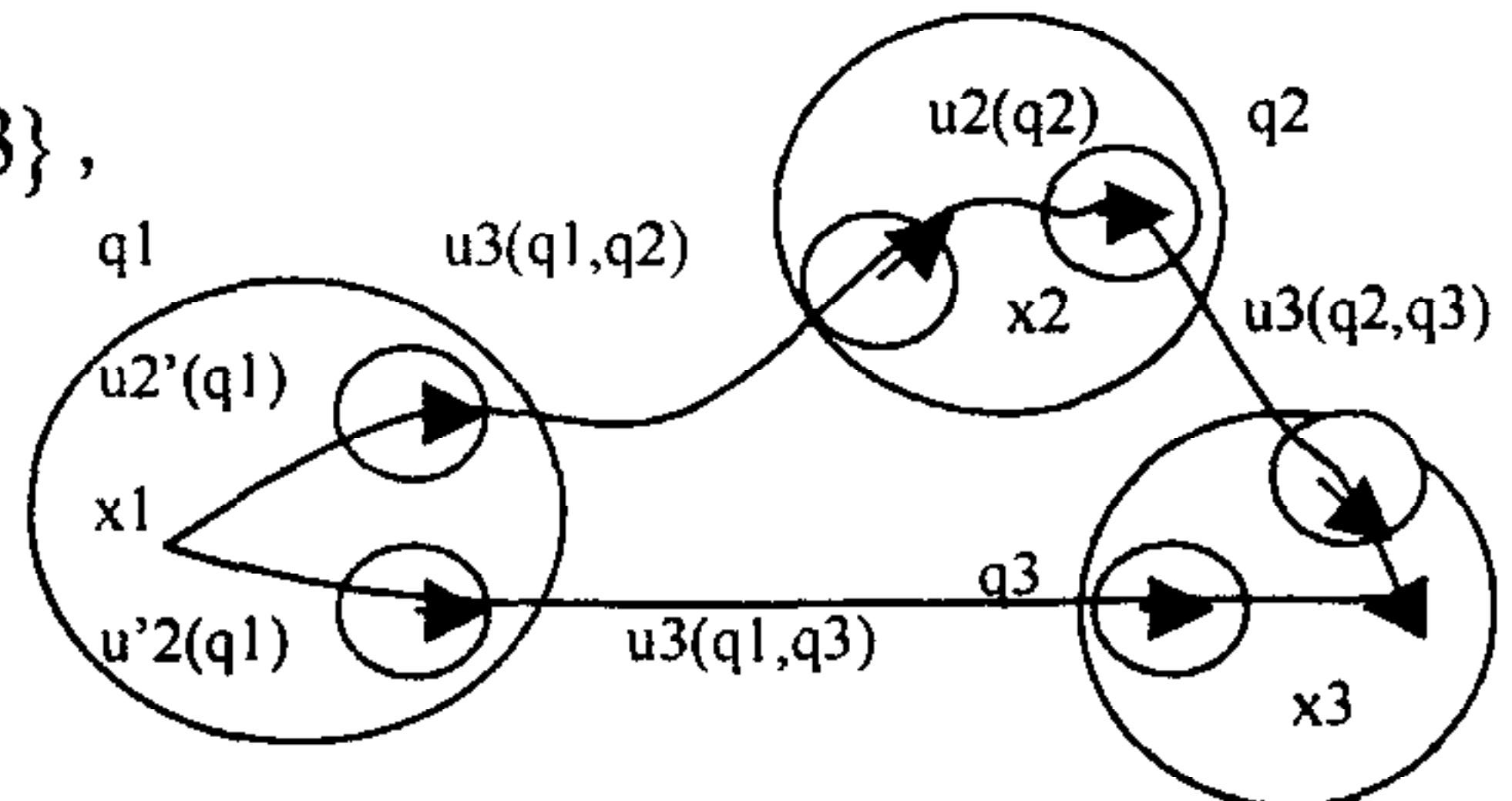


图 1

当连续状态变量  $x_1$  变化进入  $u_2(q_1)$  时, 离散状态分别由  $q_1$  跃变到  $q_2$ 、 $q_3$ . 当连续状态变量  $x_2$  变化进入  $u_2(q_2)$  时, 离散状态分别由  $q_2$  跃变到  $q_3$ .

定义从一系统状态到达另一系统状态, 所经历的离散状态的一个顺序为一条路径. 考虑到一条路径所对应的系统状态及变迁, 当系统沿着这条路径演化时仍是一个离散变迁确定的混杂系统.

### 3 混杂系统最优控制的复杂性分析

#### 3.1 最优控制目标函数

对于一般的混杂控制系统, 要求在控制决策作用下, 由初态  $(q_0, x_0)$  到达终态  $(q_f, x_f)$ . 并且总代价最小, 即:

$$J = \min_{u, v} \left\{ \int e^{-at} L(x(t), u(t), t) dt + \sum_i e^{-a\sigma_i} M(x_i, x_j, v_i) \right\} \quad (1)$$

其中:  $a > 0$  为折扣因子.  $u$  为连续控制,  $v$  为离散的切换控制.  $L(x(t), u(t), t)$  为连

续动态能量函数.  $M(x_i, x_j, v_i)$  为离散动态切换的能量函数.:

### 3.2 最优控制的复杂性分析

文[4]证明一般混杂动态可控性分析是 NP\_Hard 的. 其复杂性主要在以下两个方面:

- 从初态  $(q_0, x_0)$  到达终态  $(q_f, x_f)$ , 离散状态数  $n$  的系统, 可能的路径数(离散状态

在控制过程中最多出现一次)为:  $\sum_{i=0}^{n-2} p_{n-2}^i$ , ( $p_{n-2}^i = (n-2) \times (n-3) \times \dots \times (n-i-1)$ ) (2)

可见, 路径随  $n$  的增大而指数增多.

- 对于某固定路径, (1) 式仍是一个混杂最优控制问题.

考虑到系统的混合动态信息结构, (1) 式的求解非常困难. 基于此, 我们提出以下近优的层次优化处理方法.

## 4 层次优化方法

记从初态  $(q_0, x_0)$  到达终态  $(q_f, x_f)$  的路径集为  $R$ ,  $u^r, v^r$  为路径  $r$  对应的连续控制和离散切换控制. 则 (1) 式可改写为:

$$J = \min_{r \in R} \left\{ \min_{u^r, v^r} \left[ \int_T e^{-\alpha t} L(x(t), u^r(t), t) dt + \sum_i e^{-\alpha \sigma_i} M(x_i, x_j, v^r_i) \right] \right\} \stackrel{\Delta}{=} \min_{r \in R} J' \quad (3)$$

$$\text{其中: } J' = \min_{u^r} \left[ \int_T e^{-\alpha t} L(x(t), u^r(t), t) dt + \sum_i e^{-\alpha \sigma_i} M(x_i, x_j, v^r_i) \right] \quad (4)$$

$J'$  的求解非常困难, 我们转而考虑以下近优目标函数的求解问题.

$$J'' \stackrel{\Delta}{=} \min_u \int_T e^{-\alpha t} L(x(t), u^r(t), t) dt + \min_{x_i, x_j} \sum_i e^{-\alpha \sigma_i} M(x_i, x_j, v^r_i) \quad (5)$$

记  $S_{ij} = \{x_i, x_j \mid q_i(x_i) \rightarrow q_j(x_j)\}$ , 假设  $S_{ij}$  为闭集且  $M(x_i, x_j, v^r_i)$  关于变量  $x_i, x_j$

连续, 则  $J_2 = \min_v [\sum_i e^{-\alpha \sigma_i} M(x_i, x_j, v^r_i)]$  存在.

因此, 根据 (5) 式, 可以得出 (4) 式的以下近优控制算法:

算法 1:

i. 寻找路径上所有  $S_{ij}$ .

ii. 计算  $J_2 = \min_i [\sum_j e^{-\alpha \sigma_i} M(x_i, x_j, v_i)]$ . 找出  $S_{ij}$  上使  $M(x_i, x_j, v_i)$  达到最小的

$\tilde{x}_i, \tilde{x}_j$ .  $\tilde{x}_i$  则为离散状态  $q_i$  对应连续动态的末态,  $\tilde{x}_j$  为离散状态  $q_j$  对应连续动态的

初态. 从而可求出一路径对应的所有连续动态的初态值和末态值,  $\tilde{x}_i, \tilde{x}_j$  可为一曲线.

iii. 对应路径上每个离散状态寻找使连续动态从初态到达末态并使  $J_1 = \int_T^t e^{-\alpha t} L(x_i(t), u_i(t), t) dt$  达到最小的最优控制  $u_i(t)$ .

iv.  $J = J_1 + J_2$ .

根据 (1) (3) (5) 式, 整个混杂系统的求解归纳为如下层次优化方法:

算法 2:

i. 利用某种规则寻找合适路径.

ii. 根据算法 1 求解这条路径对应最优控制  $u_i(t), v_i(t)$ .

iii. 重复步骤 i、ii.

iv. 求出所有路径的最优值, 对应的控制量  $u_i(t), v_i$  即为所求.

可以看出, 以上每一步骤求解都相对简单. 从而可较容易求出混杂控制系统一个次优解.

## 5 示例

考虑系统:  $\dot{x}(t) = A(q)x(t) + B(q)u(t)$  (6)

如图 2 所示, 寻找一最优控制, 使状态  $(x_1, x_2)$  从初态  $(0,0)$  到达末态  $(2,5)$ , 并且使以下目标函数达到最优.

$$J = \int_T^t x(t)^T Q x(t) + \sum_i x_i^T R x_i, \text{ 其中 } Q = \begin{bmatrix} 2 & 0 \\ 0 & 3 \end{bmatrix}, R = \begin{bmatrix} 2 & 0 \\ 0 & 1 \end{bmatrix}$$

(6) 式中:

$$A(q) = \begin{cases} \begin{bmatrix} 1 & 2 \\ 2 & 5 \end{bmatrix} & \text{if } \begin{cases} x_1(t) + x_2(t) - 1 \leq 0 \\ x_1(t) + 2x_2(t) - 2 \leq 0 \end{cases} \\ \begin{bmatrix} 0 & -3 \\ 2 & 1 \end{bmatrix} & \text{if } \begin{cases} x_1(t) + x_2(t) - 1 \geq 0 \\ x_1(t) + 2x_2(t) - 2 \leq 0 \end{cases} \\ \begin{bmatrix} 0 & 1 \\ -2 & 2 \end{bmatrix} & \text{if } x_1(t) + 2x_2(t) - 2 \geq 0 \end{cases}$$

$$B(q) = \begin{cases} \begin{bmatrix} 0 \\ 4 \end{bmatrix} & \text{if } \begin{cases} x_1(t) + x_2(t) - 1 \leq 0 \\ x_1(t) + 2x_2(t) - 2 \leq 0 \end{cases} \\ \begin{bmatrix} 2 \\ 1 \end{bmatrix} & \text{if } \begin{cases} x_1(t) + x_2(t) - 1 \geq 0 \\ x_1(t) + 2x_2(t) - 2 \leq 0 \end{cases} \\ \begin{bmatrix} 1 \\ 1 \end{bmatrix} & \text{if } x_1(t) + 2x_2(t) - 2 \geq 0 \end{cases}$$

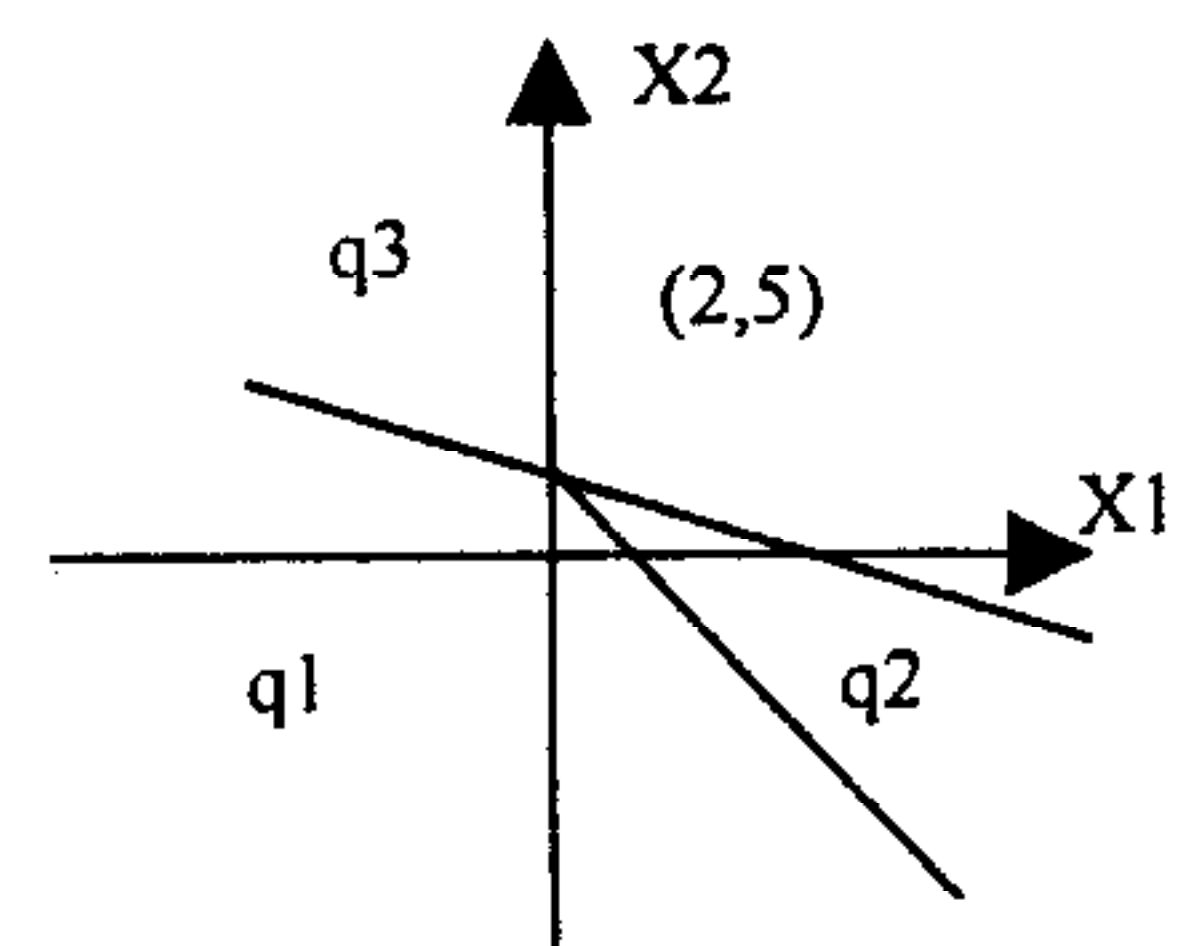


图 2

根据算法 2 步骤求解：

- 1) 寻找从初态(0,0)到达末态 (2,5) 路径，共有两条： i.  $q_1 \rightarrow q_2 \rightarrow q_3$ , ii.  $q_1 \rightarrow q_3$
- 2) 对每条路径根据算法 2 求解. 如对路径 i :

I. 跳集  $S_{12}$  为直线  $x_1(t) + x_2(t) - 1 = 0$ , ( $x_1(t) \geq 0$ ). 跳集  $S_{23}$  为直线  $x_1(t) + 2x_2(t) - 2 = 0$ , ( $x_1(t) \geq 0$ )

II. 计算  $J_2 = \min_{x_i, x_f} \sum_i x_i^T R x_i$ . 对应  $S_{12}$ ,  $S_{23}$  可分别求出  $q_1$  的末态  $(2/3, 1/3)$ ,  $q_2$  的初态  $(2/3, 1/3)$ , 末态  $(2/9, 8/9)$ ,  $q_3$  初态  $(2/9, 8/9)$ .

III. 计算  $J_1 = \min_{u_i} \int_{T'} e^{-at} L(x_i(t), u_i(t), t) dt$ , 即对应离散状态  $q_1, q_2, q_3$  在初态和末

态约束下最优及最优控制  $u_i(t)$ .  $q_1, q_2, q_3$  分别为受边界约束的初态和末态已知的线性控制系统. 可以采用极大值原理求解.

IV.  $J = J_1 + J_2$  为路径 i 的最优解

V. 对路径 ii 重复步骤 I、II、III、IV.

- 3) 比较两条路径的最优解. 寻找出系统最优.

## 6 总 结

本文提出了混杂优化控制的层次方法，示例证明这种方法是有效的. 最后控制优化求解的复杂性集中在路径的选择上. 实际上，在现实的物理对象中，路径一般是有有限的. 在很多情况下可以根据实际的物理意义来简化寻优路径. 本文的后续工作就是要改进寻找可达路径的算法，简化路径数量.

## 参 考 文 献

- 1 Michael S.Branicky, Vivek S.Boarkar, and Sanjoy K. Mitter, A Unified Framework for Hybrid Control:Model and Optimal Control Theory, *IEEE Trans. Automat. Contr.*, vol. 43, pp.31-45, Jan.1998
- 2 John Lygeros, Claire Tomlin, Shankar Sastry, Controllers for reachability specifications for hybrid systems, *Automatica*, vol 35, pp.349-370,1999
- 3 Michael Tittus, Egardt. Control Design for Integrator Hybrid Systems, *IEEE Trans. Automat. Contr.*, vol. 43, pp.31-45, Jan.1998
- 4 Vincent D.Blondel, John N. Tsitsiklis, Complexity of stability and controllability of elementary hybrid systems, *Automatica*, vol 35, pp.479-489,1999
- 5 Alberto Bemporad, Manfred Morari, Control of systems integrating logic, dynamics, and constraints, *Automatica*, vol 35, pp.407-427,1999
- 6 Jin lu, Li-Zhi Liao, Anil Nerode, James H. Tayoe, Optimal Control of Systems with Continuous and Discrete States, Proc. IEEE Conf. Decision Contr., San Antonio,Texas,Dec.1993,pp. 2292-2297.